

論文

線型 4點 特性法에 [의 한 不定流의 解析

The Linearized Four-point Method of Characteristics for Unsteady Flow Computation

李鍾泰 Jong-Tae Lee
李元煥 Won-Hwan Lee

Abstract

A numerical computation of unsteady flow in the open channel was studied with the linearized four-point method of characteristics.

A seiche test for this model was fulfilled and its result was very close to the exact solution.

The effect of linearization to the accuracy of the result was small enough for the analysis of nearly horizontal flow, and this model would be applicable for the real unsteady flow problem because of its convenience.

卷之三

本研究는水面變化의傳播特性을利用한 4點法(four-point method of characteristics)의線型化理論을開水路의不定流解析에適用하는問題와關聯하여,直四角形灣入에서本解析模型에對한1次元靜振動數值檢定實驗을實施하였고,2次元不定流의解析에있어서安定性(stability)問題에對하여檢討하였다.

本解析模型은 수위변화가 수심에 비해 충분히 작은 흐름의 경遇에 효과적으로 적용할 수 있음을 알 수 있다.

1. 序 論

特性法은 數值解析 水理學에 매우 有用하다. 그러나 이 理論을 實際로 適用함에 있어서는 그 計算結果를 一定 格點網과 時間間隙으로 表現할 때 많은 어려움이 따르게 된다. 그 例로서 3點 特性法(three-point method of characteristics)의 境遇에 많은 補間計算을 하게 되고 이로 因하여 計算結果值의 精度가 補間計算過程에 左右되게 된다. 따라서 精度를 改善하기 위해서는 보다 精密한 補間式의 導入이 要請되므로 그 結果 프로그램은 매우 複雜해지고 計算所要時間도 增大된다(Fox, 1962). 以上的 어려움을 극복하기 위하여 補間計算의 努力이 없는 線型化된 4點 特性法이 Abbott (1970)에 의해 開發되었다. 本 論文에서는 自由水面을

갖는 거의 水平으로 흐르는 흐름에 線型 4點 特性法을
適用함에 있어서 問題되는 境界條件의 處理와 模型의
精度, 線型化의 影響等에 關하여 數值實驗을 通하여
檢討하였고, 2次元 흐름에 適用하는 問題를 탐討하였다.

2 理論式正 解析方法

2.1 線型 4 點 特性法

4點特性法은 Hansen(1965)에 의해 塑性理論에 適用한 것이 처음이며 Abbott(1966)에 의해 流體의 흐름에 應用되기始作했다. Fig. 1에서 두개의 特性線 C_+ 와 C_- 로 싸여진 (x, t) 空間에서의 4點으로構成된 要素(element)에서 Riemann invariant는 다음과 같다.

* 釜山水產大學 海洋工學科 助教授

** 延世大學校 土木工學科 教授

2.3. 2次元 흐름에의 應用

摩擦抵抗, Coriolis加速度等의 項을 無視한 理想流體의 2次元 흐름에 線型 4點 特性法을 適用하는 問題를 檢討하여 보면 다음과 같다.

$x-y$ 平面에서의 흐름을 각各 x, y 方向으로 分離하여 表現하면 式(14a)로부터 式(14b), (14c)가 된다.

$$h^{n+1}_{j,k}|_x + h^{n-1}_{j,k}|_x - h^n_{j+1,k} - h^n_{j-1,k} = 0 \cdots (14b)$$

$$h^{n+1}_{j,k}|_y + h^{n-1}_{j,k}|_y - h^n_{j,k+1} - h^n_{j,k-1} = 0 \cdots (14c)$$

또한 Δt 時間에 格點($j\Delta y, k\Delta y$)에서의 h 의 變化值를 x, y 各方向에서의 影響을 합친 것으로 하면 式(19)와 같이 表現된다.

$$\begin{aligned} (h^{n+1}_{j,k} - h^n_{j,k}) &= (h^{n+1}_{j,k}|_x - h^n_{j,k}) \\ &+ (h^{n+1}_{j,y}|_y - h^n_{j,k}) \cdots \cdots \cdots (19) \end{aligned}$$

式(14b)와 式(14c)를 더하고 式(19)을 適用하면 2次元 흐름에 대한 線型 4點 特性法의 演算子가 만들어진다(式(20), Fig. 3).

$$\begin{aligned} h^{n+1}_{j,k} &= h^n_{j+1,k} + h^n_{j-1,k} + h^n_{j,k+1} \\ &+ h^n_{j,k-1} - 2h^n_{j,k} - h^{n-1}_{j,k} \cdots \cdots \cdots (20) \end{aligned}$$

式(20)의 結果를 檢討하기 위하여 式(21)의 2次元 흐름의 波動方程式을 中央差分式(Abbott, 1977)으로 나타내면 式(22)가 된다.

$$\begin{aligned} \frac{\partial^2 h}{\partial t^2} - c^2 \left(\frac{\partial^2 h}{\partial x^2} + \frac{\partial^2 h}{\partial y^2} \right) &= 0 \cdots \cdots \cdots (21) \\ \frac{(h^{n+1} - 2h^n + h^{n-1})_{j,k}}{(\Delta t)^2} - c^2 \left[\frac{(h_{j+1} - 2h_j + h_{j-1})_{j,k}^n}{(\Delta x)^2} + \frac{(h_{k+1} - 2h_k + h_{k-1})_{j,k}^n}{(\Delta y)^2} \right] &= 0 \cdots \cdots \cdots (22) \end{aligned}$$

$\Delta x = \Delta y = \Delta s$ 일 때 式(22)는 式(23)이 된다.

$$\begin{aligned} h^{n+1}_{j,k} &= \frac{c^2(\Delta t)^2}{(\Delta s)^2} (h_{j+1,k} + h_{j-1,k} + h_{j,k+1} + h_{j,k-1})^n \\ &+ 2 \left[1 - 2 \left(\frac{c^2(\Delta t)^2}{(\Delta s)^2} \right) \right] h^n_{j,k} - h^{n-1}_{j,k} \cdots \cdots \cdots (23) \end{aligned}$$

式(23)으로 表現되는 演算子의 何學的 構造(Fig. 3)는 式(20)의 것과 같고, $c \cdot \Delta t / \Delta s = 1$ 이면 式(20)이 된다. 그러나 이와같은 three-time-level scheme의 安定條件(CFL condition) (Yanenko, 1968)은

$$c \cdot \Delta t / \Delta s < \sqrt{2} / 2 \cdots \cdots \cdots (24)$$

이므로 式(20)의 演算子는 不安定하다고 판단된다. 한편 $c \cdot \Delta t / \Delta s = \sqrt{2} / 2$ 일 때 式(23)으로부터 式(25)의 간단하고 安定한 演算子가 된다.

$$\begin{aligned} h^{n+1}_{j,k} &= 0.5(h_{j+1,k} + h_{j-1,k} + h_{j,k+1} + h_{j,k-1})^n \\ &- h^{n-1}_{j,k} \cdots \cdots \cdots (25) \end{aligned}$$

2.4. 에너지 損失項의 導入問題

에너지의 主된 損失은 底面摩擦(τ)이다. τ 는 u 와

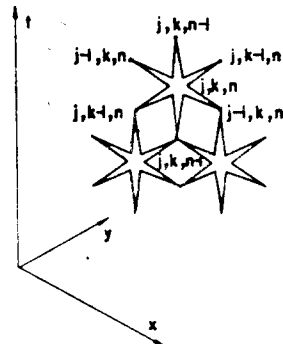


Fig. 3. The four-point operator under linearization in two-dimensional flows.

h 의 函數로 表現될 수 있는 바, 即, $\tau_j^n = \tau(u_j^n, h_j^n)$ 에 Fig. 4에서 다음 關係式으로 나타난다 (Abbott, 1975).

$$\begin{aligned} &\left(u_1 + \left(\frac{g}{h_0} \right)^{1/2} h_1 \right) - \left(u_4 + \left(\frac{g}{h_0} \right)^{1/2} h_4 \right) \\ &= - \int_{t_4}^{t_1} \frac{\tau}{\rho h} dt \cdots \cdots \cdots (26) \end{aligned}$$

$$\begin{aligned} &\left(u_4 - \left(\frac{g}{h_0} \right)^{1/2} h_4 \right) - \left(u_3 - \left(\frac{g}{h_0} \right)^{1/2} h_3 \right) \\ &= - \int_{t_3}^{t_4} \frac{\tau}{\rho h} dt \cdots \cdots \cdots (27) \end{aligned}$$

$$\begin{aligned} &\left(u_1 - \left(\frac{g}{h_0} \right)^{1/2} h_1 \right) - \left(u_2 - \left(\frac{g}{h_0} \right)^{1/2} h_2 \right) \\ &= - \int_{t_2}^{t_1} \frac{\tau}{\rho h} dt \cdots \cdots \cdots (28) \end{aligned}$$

$$\begin{aligned} &\left(u_2 + \left(\frac{g}{h_0} \right)^{1/2} h_2 \right) - \left(u_3 + \left(\frac{g}{h_0} \right)^{1/2} h_3 \right) \\ &= - \int_{t_3}^{t_2} \frac{\tau}{\rho h} dt \cdots \cdots \cdots (29) \end{aligned}$$

위의 式들에서 u_1, u_2, u_3 와 u_4 를 消去하고 Fig. 4에서 $\tau_{321} = \frac{\tau_3}{4} + \frac{\tau_2}{2} + \frac{\tau_1}{4}$, $\tau_{341} = \frac{\tau_3}{4} + \frac{\tau_4}{2} + \frac{\tau_1}{4}$ 으로 하여 差分形으로 表現하면,

$$\begin{aligned} &(h_j^{n+1} + h_j^{n-1} - h_{j+1}^n - h_{j-1}^n) \\ &- \frac{\Delta t}{\rho(g h_0)^{1/2}} \left(\frac{\tau_{j+1}^n - \tau_{j-1}^n}{2} \right) = 0 \cdots \cdots \cdots (30) \end{aligned}$$

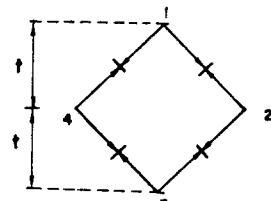


Fig. 4. Distribution of resistances in the four-point method.

마찬가지로 u 에 關하여는

$$(u_j^{n+1} + u_j^{n-1} - u_{j+1}^n - u_{j-1}^n)$$

$$-\frac{\Delta t}{\rho h_0} (\tau_j^{n+1} - \tau_j^{n-1}) = 0 \quad \dots \dots \dots \quad (31)$$

τ_j 의 값을 適切한 摩擦公式으로 計算하면 式(30), (31)은 에너지의 損失項을 考慮한 境遇의 線型 4點 特性法이 된다.

3. 檢定 吳 應用

3.1 직사각형灣에서의 一次元 靜振動(Seiche) 數值實驗

線型 4點 特性法의 精度를 試驗하기 위하여 직사각
형 澄에서의 一次元 自由振動 數值實驗을 實施하였다.
本 實驗을 위하여 다음과 같은 條件을 만들었다. 即
길이 $L=20\text{km}$, 폭 $B=2\text{km}$, 平均水深 $h_0=8\text{m}$ 일 때,
初期條件으로서 澄入口의 水深度가 8.0m일 때 澄의 內部
端에서는 8.0m로 바람에 의해 水面이 Sin曲線으로 上
昇(set up)한 후 自由振動이 始作되었다. 이 경우 振
動週期 T 의 理論式은 式(32)이며 따라서 $T=9030\text{sec}$
이다.

$$T = \frac{4L}{\sqrt{gh_0}} \dots \dots \dots \quad (32)$$

길이 Δx 의 格點數 $jj=7$ 로 하고 $C.F.L$ 數를 1.0 으로 하였고, $h(x, \Delta t)$, $u(x, \Delta t)$ 일 때 ($n=2$)의 값을 구하기 위하여 3點 特性法을 사용하였다. 即

$$u_j^2 = \frac{u^1_{j-1} + u^1_{j+1}}{2} + (c_{j-1} + c_{j+1});$$

$$u^1_{j-1} = 0, \quad u^1_{j+1} = 0 \quad \dots \dots \dots \quad (33)$$

따라서

$$u_j^2 = \sqrt{g} (\sqrt{h^1_{j-1}} - \sqrt{h^1_{j+1}}) \dots \dots \dots \quad (33a)$$

마찬가지로

$$c_j^1 = \frac{u^1_{j-1} - u^1_{j+1}}{4} + \frac{c^1_{j-1} + c^1_{j+1}}{2};$$

$$c_j^2 = 0.5(c_{j-1}^1 + c_{j+1}^1) \dots \dots \dots \quad (34a)$$

開放端에서,

$$h_1^2 = 8.0 \text{ (mean water depth)} \dots \dots \dots \quad (35)$$

$$u_1^2 = - \left(\frac{g}{h_0} \right)^{1/2} (H_2^1 - H_0) \dots \dots \dots \quad (36)$$

閉塞端에서.

$u(x, \Delta t)$, $h(x, \Delta t)$ 가 3점特性法에 의해 구해진 후 式(12a), (14a), (15)~(18)等을 活用하여 計算을 實施하였다.

Fig. 5는 實值數驗의 結果인데 振幅 및 振動週期는 理論值와 거의 正確히 一致하였다. 本 實驗의 結果로

서 線型 4 點 特性 法은 거의 水平 으로 흐로는 自由水面 의 흐름 에서 매우 正確한 解를 얻을 수 있음을 알 수 있다.

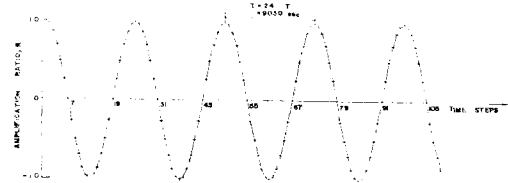


Fig. 5. One-dimensional Seiche test in the rectangular basin.

3. 2. 開門에 의한 水位議節 模型實驗

本模型實驗의 目的是 閘門의 造作으로 일어나는 흐름의 現象과 關聯하여 흐름에 의한 船舶의 安全과 最適碇泊位置를 決定하는데 있는 바 線型 4點 特性法을 活用하여 數值實驗을 實施하고 그 結果를 非線型 特性法에 의한 算出 結果와 比較 檢討하였다. 本 實驗에 使用한 條件은 다음과 같다. 即 두 左右 閘門의 間隙이 400m이고, 水深이 15m인 $t=0$ 일 때 두 閘門이 모두 닫혀진 狀態에서 閘門內의 水位를 調節하기 위하여 左側 閘門을 열기始作하여 $t=6\text{sec}$ 일 때 $30\text{m}^3/\text{s}$ 까지 流入시킨 후, 다시 $t=120\text{sec}$ 때까지 閘門을 닫았다. 이 때 流量의 減少 및 增加는 一次的으로 實施되었다.

Fig. 6의 流速에 關한 結果에 의하면 右側端으로부터 100m以內의 地域은 流速이 0.5m/s未滿이었고 水面의 傾斜度도 또한 완만하여 (Fig. 7)船舶의 開泊에 良好한 位置임이 判明되었으며, 流速이 1.5m/s까지 이르는 左側端部近은 不適合함을 알 수 있었다.

Fig. 6, 7의結果에서 線型化한 경우의 計算值와 非線型인 경우의 것과는 多少의 差異가 있음을 알 수 있으나 本 實驗에서 要求하는 解答에 關해서는 線型化한 模型으로도 마찬가지의 結論을 얻을 수 있었다. 따라서 處現過程이 훨씬 신속한 線型化 理論에 의한 模型이 거의 水平으로 흐르는 흐름에 關한 限 매우 正確하고 便利한 手法임을 알 수 있다.

3.3. 潛入에서의 2次元 흐름 解析

式(20)~(25)까지의 내용을 檢討하기 위하여 길이 및 폭 3km 水深 10m인 正方形 灣入에서의 號를을 考察하였다. 境界條件으로서 外海와 接한開放端의 左右端 $(1, 1), (1, k)$ 의 水位變動은

格點(1, 1);

$0 < t < 100\text{sec}$ 일 때, $h(1, 1) = 10\text{m}(\text{const.})$

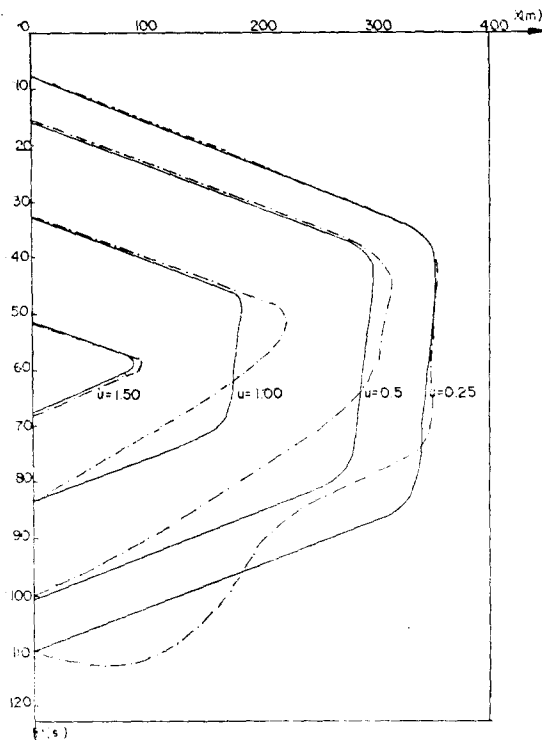


Fig. 6. Isolines of velocity plotted from four-point method.

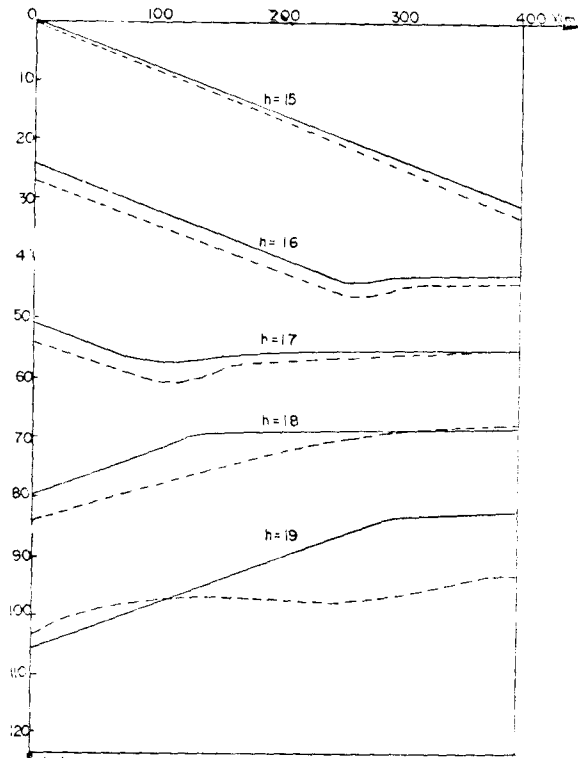


Fig. 7. Isolines of water depth plotted from four-point method.

$100 < t < 600$ sec 일 때,

$$h(1, 1) = 10 + \frac{t-100}{500} \text{ (m)}$$

格點 $h(1, kk)$:

$0 < t < 100$ sec 일 때, $h(1, kk) = 10 \text{ m} (\text{const.})$

$100 < t < 600$ sec 일 때,

$$h(1, kk) = 10 + \frac{t-100}{250} \text{ (m)}$$

이어,開放端各格點에서의水位는 $h(1, 1)$ 과 $h(1, kk)$ 값을使用한一次比例로補間計算하였다. 實驗은 $c \cdot \Delta t / \Delta s = 1$ 인 式(20)을 使用한 경우와 $c \cdot \Delta t / \Delta s < \sqrt{2}/2$ 인 (式(25)) 두 경우에 대해서 實施하였다. Fig. 8은 $t = 600$ sec 일 때 水深分布이다. 여기서 式(20)의 경우 그結果(Fig. 8의 괄호안 숫자)는 不安定하며, $c \cdot \Delta t / \Delta s < \sqrt{2}/2$ 일 때 安定함을 알 수 있다.

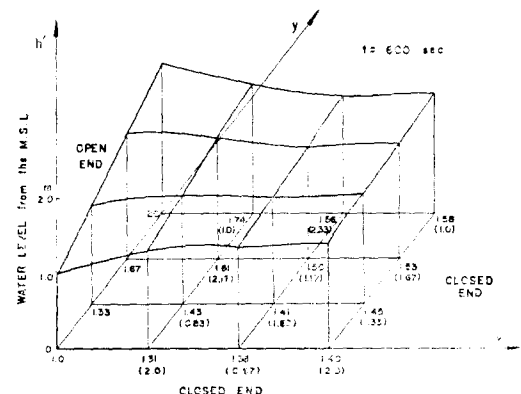


Fig. 8. Wane lenght distribution in the rectangular basin.

4. 要約 및 結論

本研究는水面變化의特傳播性을利用한4點法의線型化理論을開水路의不定流解析에適用하는問題에關한것이며그內容을要約하면다음과같다.

1. 1次元靜振動數值實驗을한結果,本模型은水位의變化가水深에比해充分히작은境遇에振動週期및振幅等에있어서理論解에거의一致함을알수있었다.

2. 2次元不定流에本線型化理論을適用함에있어서安定性問題에關하여檢討하였다.

3. 本模型은電算處理面에서非線型의것보다훨씬簡便하며有用함을알수있었다.

<參考文獻>

Abbott, M.B.(1966) : An Introduction to the Method of Characteristics, Thames and Hudson

Abbott, M. B. (1975) : Intermediate Hydraulics, Fourth Ed., IHE, Delft,

Abbott, M. B. (1977) : Numerical Methods, fifth edition, IHE, Delft,

Abbott, M.B. and A. Verwey(1970) : Four-point method of characteristics, ASCE, HY, 12, p.7763.

Fox, L.(1962) : Numerical Solution of ordinary and partial Differential Equations, Pergamon Hansen, B.(1965) : A Theory of plasticity for Ideal Frictionless Materils, Teknisk Forlag, Copenhagen

Yanenko, N.N.(1968) : Methode a Pas Fractionnaires (trans. P.A. Nepomiastchy), Armand Colin, Paris,